

The Impact of Channel Shape at Surface Discharge from Rectangular and Trapezoid Sections into Stagnant and Non-stratified Water Bodies

F. Shacheri¹, O. Abessi², J. Mohammadvali Samani³, M. Saeedi⁴

1. MSc Student of Water Structure Engineering, Tarbiat Modares University, Tehran, Iran
2. Assist. Prof., School of Civil Engineering, Nooshiravani University of Technology, Babol, Iran
(Corresponding Author) Oabessi@nit.ac.ir
3. Prof. of Water Structure Engineering, Tarbiat Modares University, Tehran, Iran
4. Prof. of Water and Environment, School of Civil Engineering, Iran University of Science and Technology, Tehran, Iran

(Received Nov. 1, 2017 Accepted June 1, 2017)

To cite this article :

Shacheri F., Abssi, O., Mohammadvali, J., Saeedi, M., 2018, "The impact of channel shape at surface discharge from rectangular and trapezoid sections into stagnant and non-stratified water bodies" Journal of Water and Wastewater, 29(2), 101-113. Doi: 10.22093/wwj.2017.49230.2140. (In Persian)

Abstract

In recent years, with growing population and industrialization of the world, desalination techniques have developed drastically to supply the rising needs of coastal cities to fresh water. The brine is the second product of the producing fresh water process in the desalination facilities, that is usually discharged into the sea through marine outfalls (surface and submerged). The main purpose of the outfall is to enhance the dilution and reduce the impact on the local environment. In this study, in order to investigate the impact of the shape of the surface discharge channel, rectangular and trapezoidal sections with the equivalent diameter were used to discharge wastewater with negative buoyancy into stagnant and non-stratified water bodies. Experiments have been carried out in a dark room and processed using digital analysis. The location of plunge point, impact point and the dilution in this point, and the location of the ultimate point and dilution at this point were the flow characteristics studied in this research. According to the shape impact and less hydraulic conflict with the surroundings, trapezoidal section had better geometric characteristics compared to rectangular section. Results of the experiments were presented in the form of non-dimensional diagrams and equations. Finally, statistical indices such as Root Mean Square Error (RMSE) and R-Square (R^2) were used to verify the accuracy of the presented dimensionless equations. The results indicated that the closer the shape of surface channel discharge is to the best hydraulic cross section (semicircular), the better geometric and mixing characteristics would be obtained for the flow along near-field area. In this way, prediction of flow characteristics and design of actual samples of these outfalls will be possible.

Keywords: Shape Impact, Dense Flow, Surface Discharge, Mixing, Densimetric Froude Number.



تأثیر شکل کanal در تخلیه سطحی جریان چگال از دو مقطع مستطیلی و ذوزنقه‌ای در محیط‌های ساکن و همگن

فاطمه شاچری^۱، عزیر عابسی^۲، جمال محمدولی سامانی^۳، محسن سعیدی^۴

۱- دانشجوی کارشناسی ارشد مهندسی آب، دانشگاه تربیت مدرس، تهران، ایران

۲- استادیار گروه عمران، دانشگاه صنعتی نوشیروان بابل

(نویسنده مسئول) Oabessi@nit.ac.ir

۳- استاد گروه سازه‌های آبی، دانشگاه تربیت مدرس، تهران

۴- استاد گروه آب و محیط زیست، دانشکده عمران، دانشگاه علم و صنعت ایران، تهران، ایران

(دریافت ۹۵/۲/۱۲ پذیرش ۹۶/۳/۱۱)

برای ارجاع به این مقاله به صورت زیر اقدام بفرمایید:

شاچری، ف.، عابسی، ع.، محمدولی سامانی، ج.، سعیدی، م.، ۱۳۹۷، "تأثیر شکل کanal در تخلیه سطحی جریان چگال از دو مقطع مستطیلی و ذوزنقه‌ای در محیط‌های ساکن و همگن"، مجله آب و فاضلاب، ۲۹(۲)، ۱۱۳-۱۰۱. Doi: 10.22093/wwj.2017.49230.2140

چکیده

در سال‌های اخیر با افزایش جمعیت و صنعتی شدن جهان، صنایع نمک‌زدایی از آب دریا به منظور تأمین نیازهای فراینده شهرهای ساحلی به آب شیرین، گسترش زیادی یافته‌اند. پساب بسیار شور، محصول ثانویه فرایند تولید آب شیرین در تأسیسات نمک‌زدایی آب دریا است که عموماً با استفاده از انواع تخلیه‌کننده‌های دریایی سطحی و مستغرق به محیط دریا تخلیه می‌شود. هدف اصلی تخلیه‌کننده‌ها دستیابی به ترقیق مناسب و کاهش اثرات مخرب محیط‌زیستی تخلیه فاضلاب بر محیط زیست است. در این پژوهش اثر شکل کanal در تخلیه سطحی پساب‌های با شناوری منفی از دو مقطع مستطیلی و ذوزنقه‌ای با قطر معادل یکسان در محیط ساکن و همگن مورد بررسی قرار گرفت. آزمایش‌ها در اتاق تاریک و با استفاده از دوربین دیجیتال انجام شد و از طریق تحلیل رقومی تصاویر، مورد پردازش قرار گرفت. موقعیت نقطه غوطه‌وری، نقطه برخورد و میزان ترقیق در نقطه برخورد همراه با موقعیت و ترقیق نهایی جریان در محیط پارامترهای مورد بررسی در این پژوهش بود. نتایج مشاهدات آزمایشگاهی به صورت کمی در قالب مجموعه‌ای از نمودارها و روابط بین بعد ارائه شد. در نهایت از سنجه‌های آماری مانند مقادیر ریشه میانگین مربعات خطأ (RMSE) و ضریب تعیین (R^2) برای بررسی دقت روابط بین بعد ارائه شده، استفاده شد. نتایج به دست آمده بیانگر آن است که هرچه شکل کanal تخلیه‌کننده به شکل بهترین مقطع هیدرولیکی (نیم دایره) نزدیک‌تر باشد، جریان در امتداد ناحیه میدان نزدیک، مشخصات هندسی و اختلاط بهتری خواهد داشت.

واژه‌های کلیدی: تأثیر شکل، جریان چگال، تخلیه سطحی، اختلاط، عدد فرود دنسیمتريک

۱- مقدمه

تأثیرگذار در این رابطه است (Kikkert 2006). به طور معمول

تخلیه فاضلاب به دریا از طریق تخلیه‌کننده‌های دریایی^۱ به صورت سطحی یا مستغرق انجام می‌گیرد. هدف اصلی تخلیه‌کننده‌ها، افزایش ترقیق جریان در پیکره آبی و کاهش تأثیرات مخرب محیط‌زیستی فاضلاب در محیط پذیرنده است. برای کاهش این تأثیرات، تخلیه‌کننده‌ها باید به گونه‌ای طراحی شود که پلوم یا

۸۰ درصد شهرهای عمدۀ جهان در مجاورت ساحل واقع شده‌اند. در این مناطق تخلیه فاضلاب به محیط‌های آبی به عنوان گزینه‌ای اقتصادی و مطلوب از نظر محیط‌زیستی نسبت به تخلیه در خشکی، همواره مطرح بوده است. ویژگی‌های مطلوب فیزیکی و شیمیایی محیط‌های دریایی برای تجزیه مواد آلی در درون خود و قابلیت پیکره‌های آبی برای ترقیق فاضلاب‌های تجمیعی از جمله عوامل

^۱ Marine Outfalls



نامطلوب بسیار زیادی برای محیط‌زیست دریابی به همراه داشته باشد. این تأثیرات ناشی از شوری زیاد فاضلاب خروجی و مواد آلاینده آن بر موجودات دریابی، بهویژه جانداران کفزی است که کمینه‌سازی آن تنها از طریق طراحی مناسب و رعایت نمودن الزامات مورد نیاز برای اختلاط حداکثری جریان در محیط ممکن است (Crowe et al. 2012; Lia & Lee 2012; Oliver et al. 2013).

جریان خروجی در صورت دارا بودن سرعت اولیه و آشفتگی بالا، امکان مناسبی برای ترقیق و اختلاط با آب محیط فراهم خواهد کرد. پیش‌بینی رفتار جریان در تخلیه فاضلاب‌های شور از انواع تخلیه‌کننده‌های دریابی اولین گام در طراحی این سیستم‌ها محسوب می‌شود (Shao & Law 2010). در این زمینه مطالعات گسترده‌ای برای تعیین رفتار جریان‌های بسیار شور و چگال خروجی از تخلیه‌کننده‌های مستغرق تک مجرایی و چند مجرایی در محیط‌های ساکن و متحرک انجام گرفته است. در این مطالعات مشخصات هندسی و اختلاطی جریان اعم از حداقل ارتفاع خیزش، مسیر حرکت، میزان ترقیق در طول مسیر و اثر برهمکنش جت‌ها بر یکدیگر مورد بررسی قرار گرفته است (Robert et al. 1997; Cipollina et al. 2005; Kikkert et al. 2007; Tarrade et al. 2010; Marti et al. 2011; Abessi & Roberts 2014; Abessi & Roberts 2015 a,b).

در ارتباط با تخلیه‌کننده‌های سطحی نیز تخلیه پساب‌های حرارتی سبک با شناوری مثبت نسبت به تخلیه پساب‌های با شناوری منفی تاکنون بیشتر مورد توجه قرار گرفته‌اند. پژوهش‌های انجام شده بر روی تخلیه سطحی فاضلاب‌های حرارتی و سبک، تاکنون مشخصات هندسی و اختلاطی جریان در محیط ساکن و الگوی طبقه‌بندی جریان‌های سطحی در محیط‌های متحرک را آشکار ساخته است. این پژوهش‌ها در قالب مدل کرمیکس^۳ برای شبیه‌سازی جریانات سطحی فاضلاب‌های سبک در حالات مختلف تخلیه و محیط‌پذیرنده برای طراحی و استفاده‌های مهندسی تجمعی شده است. در این مدل رژیم‌های مختلف جریان در محیط‌های متحرک با سرعت‌های جانی کم تا بسیار زیاد و تأثیر شرایط کم عمقی پیکره آبی‌پذیرنده نیز در نظر گرفته شده است (Chu & Jirka 1986; Nash & Jirka 1996; Amon & Benner 1998; Jirka 2007a).

جت تخلیه شده، استانداردهای تجویز شده را در ناحیه‌ای کوتاه از محل تخلیه برآورده کند (USEPA 1980a). پساب خروجی از تخلیه‌کننده‌ها تحت تأثیر سه فاز مجزای اختلاط در میدان نزدیک، اختلاط در میدان دور و اختلاط دراز مدت در محیط دریا پخش می‌شود. فاز اول که مرحله اختلاط اولیه^۱ یا اختلاط در ناجیه میدان نزدیک^۲ است، ناحیه‌ای در مجاورت دهانه تخلیه‌کننده است که طی آن مشخصات جریان خروجی اعم از شار مومنت، شار شناوری، نوع و شکل کanal تخلیه‌کننده، تعیین‌کننده رفتار جریان در محیط می‌باشد. در این ناحیه میزان اختلاط و ترقیق بالا و اثرات محیط بر اختلاط جریان ناچیز است. آشفتگی القاء شده توسط شارهای جریان خروجی در انتهای میدان نزدیک از میان می‌رود و این محدوده تنها ناحیه‌ای از اختلاط جریان در محیط است که توسط مهندس طراح قابل کنترل است. مهندس طراح با شناسایی پارامترهای تأثیرگذار بر فرایند اختلاط در این ناحیه، تنها از طریق انتخاب مناسب پارامترهای هیدرولیکی جریان خروجی قادر به دستیابی به حداقل ترقیق برای دستیابی به استانداردهای محیط‌زیستی خواهد بود.

تخلیه‌کننده‌های مستغرق که در اعماق آب در بستر محیط‌پذیرنده کار گذاشته می‌شوند، شامل دو دسته تخلیه‌کننده‌های مستغرق تک مجرایی و چند مجرایی می‌باشند. تخلیه‌کننده‌های مستغرق متداول‌تر و دارای بازده بالاتری هستند، با این وجود تخلیه‌کننده‌های سطحی برای تخلیه پساب‌های حجمی در شرایطی که ترقیق پایین تری مورد نیاز باشد، به دلیل راحتی و هزینه کمتر همواره مورد توجه بوده‌اند. تخلیه سطحی فاضلاب به دریا در این حالت با استفاده از کانال‌های ساحلی پیشرونده که پساب را در فاصله کافی از ساحل در سطح آب پذیرنده رها می‌کنند، انجام می‌گیرد (Jones et al. 2007).

در سال‌های اخیر با افزایش جمعیت و صنعتی شدن جهان، استفاده از نمک‌زدایی به عنوان یک روش ماندگار و در برخی موارد تنها منبع تأمین آب شرب شهرها و صنایع مورد توجه بسیار قرار گرفته است. این موضوع باعث توسعه صنایع نمک‌زدایی آب دریا در ساحل و افزایش موارد تخلیه فاضلاب‌های شور و سنگین به این پیکره‌های آبی باز شده است. تخلیه‌های آب شور می‌تواند اثرات

³ CORMIX

¹ Initial Mixing
² Near Field Mixing



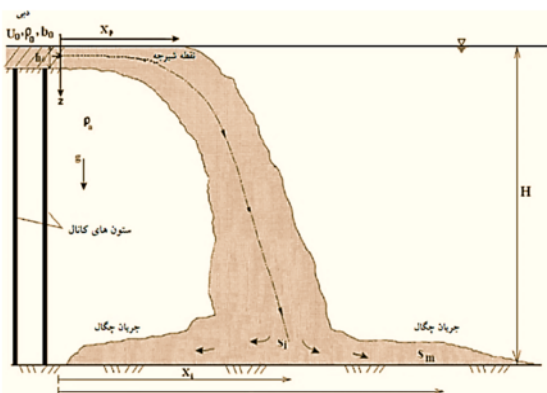


Fig 1. Schematic view of dense surface discharge in stagnant environment (Abessi et al. 2012)

شکل ۱- الگوی توسعه جریان در تخلیه سطحی پساب‌های سنگین در

محیط ساکن (Abessi et al. 2012)

این معنی که برای سرعت‌های پایین ($Fr_d < 20$), طولی از جریان که در جلوی تخلیه‌کننده است متأثر از شکل مجرای تخلیه است و با تغییر آن تغییر می‌کند. بدلیل آن که در تخلیه‌کننده‌های مستغرق عمدتاً سرعت تخلیه و عدد فرود جریان بالا است، همواره می‌توان از تأثیر شکل هندسی منبع تخلیه در این شرایط صرف نظر کرد (Roberts et al. 1997). در تخلیه‌کننده‌های سطحی به دلیل ماهیت شلی جریان، سرعت و عدد فرود پایین است لذا شکل منبع تخلیه عاملی تأثیرگذار در شکل‌گیری جریان خروجی محسوب می‌شود. علی‌رغم اهمیت اثر شکل هندسی منبع تخلیه در رفتار جریان‌های سطحی فاضلاب‌های چگال، تاکنون هیچ پژوهش نظاممندی در این زمینه انجام نگرفته است. در پژوهش‌های محدود انجام شده در رابطه با تأثیر شکل هندسی منبع در تخلیه سیالات تراکم‌پذیر، مشاهده شده است که مقاطع با گوشه‌های تیز نسبت به مقاطع دایره‌ای از ویژگی‌های اختلاط بهتری برخوردارند (Miller et al. 1995).

در این پژوهش، به منظور بررسی اثر شکل مقطع بر تخلیه سطحی پساب‌های با شناوری منفی در محیط ساکن از دو مقطع مستطیل و ذوزنقه استفاده شد. برای دو مقطع مذکور، قطر معادل یکسان ($D_e = 9/98\text{ cm}$) در نظر گرفته شد. مقاطع با قطر معادل یکسان متناظر هستند با دایره‌ای که مساحتی معادل با این مقاطع دارد. در این پژوهش، به منظور ارزیابی تأثیر شکل منبع در تخلیه سطحی پساب‌های با شناوری منفی از کanal‌های پیش‌رونده، از

در مورد جریان‌های با شناوری خنثی و منفی پژوهش‌های کمتری انجام گرفته شده است (Kassem & Khan 2003; Law et al. 2007; Adrian et al. 2007; Gholamreza-Kashi et al. 2007; Abessi 2011; Abessi et al. 2012; Saeedi et al. 2012). به دلیل عدم وجود اطلاعات آزمایشگاهی و میدانی کافی، مدل‌های ریاضی از تقریب‌هایی با دقت پایین برای پیش‌بینی مشخصات جریان‌های سطحی چگال استفاده می‌کنند و این موضوع طراحی علمی و بهره‌برداری مناسب از این تأسیسات را با مشکل مواجه ساخته است. استفاده از مدل‌های فیزیکی برای مدل‌سازی تخلیه سطحی فاضلاب‌های سنگین در محیط آزمایشگاه، امکان شناخت بهتر از فرایند اختلاط و ترقیق جریان‌های سطحی چگال در محیط دریا را میسر می‌سازد.

در برخی پژوهش‌ها در سال‌های اخیر ویژگی‌های اختلاطی و هندسی جریان چگال از تخلیه‌کننده سطحی با مقطع مستطیلی در محیط‌های ساکن مورد بررسی قرار گرفته است (Abessi 2011; 2012; Saeedi et al. 2012).

مسیر حرکت جریان، میزان ترقیق در امتداد مسیر، موقعیت نقطه برخورد، موقعیت نقطه غوطه‌وری، پروفیل غلظت، الگوی عمومی حرکت و الگوی طبقه‌بندی جریان‌های چگال در محیط‌های متحرک از جمله پارامترهای مورد بررسی در این پژوهش‌ها بوده است. الگوی توسعه داده شده در ارتباط با حرکت جریان در تخلیه سطحی پساب‌های با شناوری منفی در محیط‌های ساکن و لا یه‌بندی نشده توسط عابسی در شکل ۱ نشان داده شده است (Abessi et al. 2012). همانطور که در این شکل ملاحظه می‌شود جریان خروجی از تخلیه‌کننده ابتدا تحت تأثیر سرعت اولیه خود یک مسیر افقی کوتاه را طی کرده سپس با استهلاک شار مومنت اولیه و غلبه نیروی شناوری در نقطه غوطه‌وری (X_p) به سمت پستر محیط پذیرنده منحرف می‌شود. جریان خروجی در نهایت به شکل یک جریان چگال در مجاورت پستر آرام گرفته و در جهت شبکه کف به آهستگی به حرکت در می‌آید.

جریان خروجی از تخلیه‌کننده‌های دریایی به منظور دستیابی به اختلاط و ترقیق مناسب معمولاً دارای سرعت اولیه زیاد و نتیجتاً عدد فرود و رینولدز بالا می‌باشد. اثر شکل هندسی مجرای تخلیه‌کننده بر مشخصات میدان نزدیک جریان، برای اعداد فرود بالا قابل صرف نظر کردن بوده و تنها به ازای عدد فرود کوچک‌تر از ۲۰ قابل ملاحظه است (Roberts et al. 1997)؛ به



دهانه خروجی کanal، سرعت جریان محاسبه شد. پساب مورد استفاده در این آزمایش‌ها، آب شور ناشی از انحلال نمک طعام (سدیم کلرید) در آب شیرین بود که جریانی از پساب در غلطهای مختلف با جرم‌های حجمی متفاوت ایجاد می‌نمود. مشخصات ظاهری پلوم در محیط پذیرنده، با رنگ محلول در آب به عنوان آشکارساز مشخص می‌شد و ثبت مسیر حرکت در زمینه نور سفید با استفاده از دوربین دیجیتال سونی مدل DCR-SR47 انجام شد. آزمایش‌ها از طریق ثبت دیجیتال مسیر حرکت جریان در اتاق تاریک در مقابل یک منبع نور سفید یکنواخت به طول ۲ و ارتفاع $1/3$ متر انجام شد که متشکل از ۲۵ لامپ فلورسنت بود که در پشت مخزن جانمایی شده بود. شکل ۲ نمایی از طرح سه بعدی مدل است که با استفاده از نرم‌افزار Solidworks ترسیم شد و نحوه ارتباط و جانمایی هر یک از اجزا، را نشان می‌دهد.

شکل ۳، نیز نمایی از تخلیه سطحی پساب با شناوری منفی از دو مقطع مستطیل و ذوزنقه را در محیط ساکن و همگن نشان می‌دهد. موقعیت نقاط غوطه‌وری و برخورد و همچنین مسیر حرکت جریان برای هریک از این مقاطع در این شکل نشان داده شده است. با انجام و ثبت آزمایش‌ها در اتاق تاریک، امکان پردازش رقومی تصاویر دیجیتال برداشت شده به منظور تعیین مشخصات حرکت جریان به نحو مطلوب فراهم شد. در این پژوهش، از روش تحلیل رقومی که پیشتر توسط عابسی و همکاران در سال ۲۰۱۲ توسعه داده شده بود، استفاده شد. در این روش پس از استخراج تصاویر مجزا از ویدیوی ثبت شده از هر یک از آزمایش‌ها، با

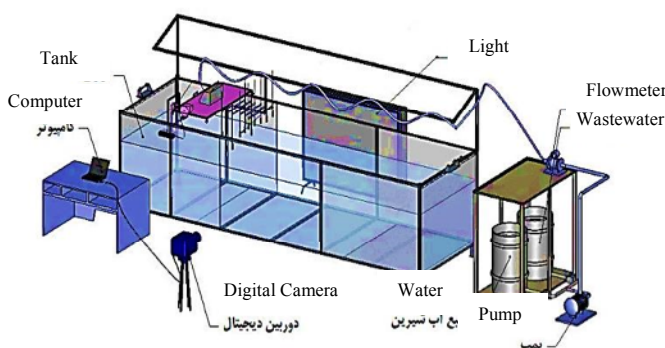


Fig 2. Schematic diagram of experimental setup
شکل ۲- نمایی از طرح سه بعدی مدل آزمایشگاهی

طریق انجام یکسری آزمایش‌ها در شرایط مختلف نسبت به بررسی رفتار جریان در محیط ساکن و لایه‌بندی نشده برای هریک از مقاطع و مقایسه آن‌ها با یکدیگر اقدام شد. نتایج مشاهدات کمی به صورت نمودار و روابط بی‌بعد ارائه شده است.

۲- مواد و روش‌ها

۲-۱- روش کار

در آزمایش‌های انجام شده در این پژوهش، بازه تغییر پارامترهای جریان اعم از دبی، سرعت و چگالی فاضلاب خروجی به ترتیب ۱۶۶ تا ۱۰۰۰ سانتی‌متر مکعب بر ثانیه، ۲۰ تا ۳۶ سانتی‌متر بر ثانیه و $10\frac{1}{3}/1$ تا $10\frac{5}{3}/1$ کیلوگرم بر متر مکعب در نظر گرفته شد. بازه تغییر متغیرها در این آزمایش‌ها متناسب با نمونه‌های واقعی انتخاب شده تا نتایج آزمایشگاهی حاصل در مقیاس واقعی قابل استفاده شود (Bleninger & Jirka 2008). این آزمایش‌ها در مدل آزمایشگاهی تحقیقات هیدرولیک محیط زیست دانشکده عمران دانشگاه علم و صنعت در آب ساکن به عمق $60/7$ تا $62/5$ سانتی‌متر انجام گرفته است. در این پژوهش، اثر شکل هندسی سطح مقطع کanal تخلیه‌کننده بر پارامترهایی مانند موقعیت نقطه غوطه‌وری، موقعیت نقطه برخورد، ترقیق در این نقطه، موقعیت دستیابی به ترقیق نهایی و میزان ترقیق تجمعی در این نقطه با توجه به اهمیت محیط‌زیستی و طراحی این پارامترها مورد بررسی قرار گرفت.

۲-۲- مدل آزمایشگاهی

مدل آزمایشگاهی مورد استفاده، مخزنی به طول ۶ متر، عرض $1/8$ متر و عمق $1/5$ متر بود. چارچوب فولادی این مخزن امتداد طولی آن را به سه پنجره 2 متری تقسیم کرده بود و دو طرف آن با شیشه‌ای به ضخامت 20 میلی‌متر پوشانیده شده بود. مخزن از آب با چگالی 998 کیلوگرم بر متر مکعب پر شد. کانال‌هایی با مقاطع مستطیلی و ذوزنقه‌ای به عرض 10 سانتی‌متر به عنوان تخلیه‌کننده سطحی در این آزمایش‌ها مورد استفاده قرار گرفتند. این کانال‌ها، فاضلاب مصنوعی تولید شده را توسط یک سیستم پمپاژ با سرعت‌های مختلف در داخل مخزن و در مجاورت سطح آب تخلیه می‌کردند. از دبی سنج الکترونیکی برای اندازه‌گیری میزان دبی فاضلاب خروجی استفاده شد، سپس بر اساس عمق قرائت شده در



تأثیر فرایندهای ناحیه میدان نزدیک تعیین می‌شود. استفاده از تحلیل‌های ابعادی در این پژوهش‌ها، بر دو فرض اولیه آشتفتگی کامل جریان برای صرف‌نظر کردن از تأثیرات لزجت و فرض تقریب بوسینسک استوار است (Jirka et al. 1981). طبق پژوهش‌های صورت گرفته، مشخصات جریان خروجی در محدوده میدان نزدیک در محیط‌های ساکن تابع متغیرهای تأثیرگذار از جمله شار حجمی ($M_0 = Q_0 / U_0 A_0$)، اندازه حرکت ($X = Q_0 g_0$)، عمق شناوری ($B_0 = Q_0 / g_0$)، فاصله از دهانه تخلیه‌کننده (X)، عمق آب محیط (H)، عرض و عمق کanal تخلیه‌کننده (b_0, h_0) و زاویه خروجی (θ_0) است (Jones et al. 1996). در معادلات ارائه شده سطح مقطع جریان بر حسب سانتی‌متر مربع، U_0 سرعت اولیه جت خروجی از منبع بر حسب سانتی‌متر بر ثانیه و g_0 شتاب ثقل کاهش یافته است که برابر است با $g * (\rho_0 - \rho_a) / \rho_a$ مشخصات جریان (Θ) را به صورت معادله ۱ به این متغیرها وابسته دانسته‌اند

$$\Theta = f_1(Q_0, M_0, B_0, X, H, b_0, h_0, \theta_0) \quad (1)$$

در محیط‌های عمیق و در حالت تخلیه افقی ($\theta_0 = 0$)، با صرف‌نظر کردن از متغیرهای وابسته (θ_0) مشخصات جریان به صورت معادله ۲ تابع شارهای اولیه جریان خروجی (Q_0, M_0, B_0)، فاصله از محل تخلیه (X) و مشخصات هندسی منبع است

$$\Theta = f_2(Q_0, B_0, M_0, h_0, b_0, X, H) \quad (2)$$

در این پدیده با توجه به فرایندهای پیچیده حاکم، استفاده از روش مقیاس طولی در مطالعه تخلیه‌کننده‌های دریایی به عنوان روشی ساده و کارآمد همواره مورد توجه بوده است (Fischer et al. 1979). در این روش با ترکیب مقادیر نسبی متغیرهای با نیروهای مؤثر شرکت کننده در پدیده اختلاط، می‌توان این متغیرها را در گروههایی با بعد طول تحت عنوان مقیاس طولی دسته‌بندی نمود. مرحله اصلی از تحلیل آزمایش‌ها به روش مقیاس طولی، ارائه روابط و نمودارهای بدون بعد برای توصیف رفتار جریان از طریق این پارامترهای بی بعد است. این امر با استفاده از شارهای اولیه جریان و تئوری باکینگهام میسر می‌شود. در اینجا می‌توان مشخصات جریان خروجی از طریق تجمعی در قالب مقیاس‌های طولی تأثیرگذار (L_Q, L_M) را به صورت معادله ۳ عنوان کرد

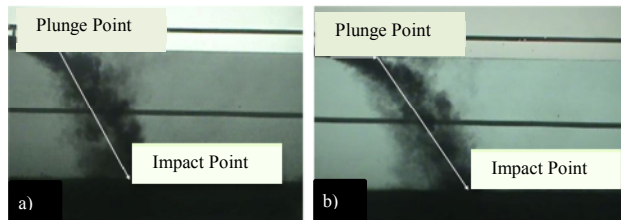


Fig 3. Schematic view of dense surface discharge in stagnant environment, a) rectangular channel b) trapezoidal channel

شکل ۳- نمایی از تخلیه سطحی پساب با شناوری منفی در محیط ساکن. (الف) کanal مستطیل (ب) کanal ذوزنقه

استفاده از نرم‌افزار Image Stream 7.0. تصاویر آزمایش میانگین‌گیری شده و یک تصویر مستقل از زمان (شکل ۴) برای پردازش رقومی ایجاد می‌شود (Nokes 2008). تصویر رنگی میانگین‌گیری شده آزمایش به تصویر مقیاس خاکستری^۱ که تنها توانایی آشکارسازی شدت رنگ سیاه در بازه صفر تا ۲۵۵ (صفرا برای سفید خالص و ۲۵۵ برای سیاه خالص) را دارد می‌باشد، تبدیل شد. این تصویر به منظور تحلیل رقومی با استفاده از برنامه توسعه داده شده در نرم‌افزار Matlab مورد بررسی و تحلیل قرار گرفت. تصویر مذکور در مطلب در قالب یک ماتریس $n \times m$ معرفی شد که در آن m تعداد نقاط افقی و n تعداد نقاط عمودی هر تصویر بود و مقدار هر مؤلفه ماتریس بیانگر شدت نور سیاه نقطه متناظر با آن می‌باشد.



Fig 4. Averaged image of surface discharge in stagnant environment

شکل ۴- تصویر میانگین‌گیری شده در تخلیه سطحی فاضلاب‌های سنگین در محیط‌های ساکن

۳-۲- تحلیل ابعادی

رفتار کلی جریان خروجی از تخلیه‌کننده‌های دریایی عمده‌تاً تحت

¹ Grayscale

۳- نتایج و بحث

۳- نقطه غوطه‌وری

موقعیت نقطه غوطه‌وری جریان، محدوده‌ای است که در آن جریان به طور کامل ارتباط خود را با سطح از دست داده و استغراق می‌یابد (Abessi et al. 2012). در این پژوهش موقعیت نقطه غوطه‌وری از طریق بررسی نحوه تغییرات غلظت جریان در نقاط مجاور سطح برآورد شد. در این حالت محدوده‌ای در مجاور سطح در تصویر میانگین گیری شده که در آن یک پوش بزرگ در غلظت جریان یا یک کاهش ناگهانی در شدت رنگ سیاه مشاهده شده، به عنوان موقعیت نقطه غوطه‌وری جریان انتخاب شد. شکل ۵ موقعیت افقی نقطه غوطه‌وری (x_p) (برای هر دو مقطع مورد پژوهش) در برابر مقیاس طولی جت به پلوم نشان می‌دهد و هر دو نسبت به شار جمی (L_Q) بی بعد شده‌اند، در این شکل نتایج پژوهش‌های دیگر نیز ارائه شده است. نتایج نشان می‌دهد که پیشروی نقطه غوطه‌وری جریان در تخلیه سطحی فاضلاب‌های سنگین تابع عدد فرود دنسیمتیریک جریان است. ملاحظه می‌شود که در هر دو مقطع مستطیلی و ذوزنقه‌ای، با افزایش عدد فرود دنسیمتیریک، پیشروی افقی جریان با روند کلی مشابه افزایش می‌یابد. در شکل ۵، با مقایسه دو مقطع مستطیلی و ذوزنقه‌ای ملاحظه می‌شود، مقطع ذوزنقه‌ای نسبت به مقطع مستطیلی، با افزایش عدد فرود دنسیمتیریک جریان از پیشروی افقی بیشتری برخوردار است. علت آن را می‌توان این طور تفسیر کرد که در فرودهای کوچک‌تر از $20 < Fr_d$ (مقیاس طولی تخلیه (L_Q) که نشان‌دهنده شکل هندسی کانال تخلیه است، اهمیت بیشتری یافته (Roberts et al. 1997)، از این‌رو، علی‌رغم بی‌بعدسازی نسبت به L_M ، $Fr_d \alpha L_M$ تأثیر شکل هندسی کانال تخلیه بر رفتار جریان، در کانال‌های ذوزنقه‌ای با توجه به درگیری هیدرولیکی کمتر این مقطع با محیط، جریان سطحی، پیشروی افقی بیشتری داشته و نقطه غوطه‌وری در فاصله طولانی‌تری از منبع اتفاق می‌افتد. بنابراین به ازای فرودهای کوچک، مشاهده می‌شود که مقیاس طولی تخلیه و در نتیجه آن شکل هندسی کانال، بر رفتار جریان در میدان نزدیک به طور معنی‌داری تأثیرگذار است. رابطه خطی برآشش شده بر داده‌های آزمایشگاهی پژوهش حاضر (۱/۱۱۷ برای مقطع مستطیل)، با شبیه‌گزارش شده توسط

$f_3(b_0, L_Q, L_M, X, H, h_0) =$ خصوصیات جت با بعد طول در این معادله ($L_Q = \frac{Q_0}{M_0^{1/2}}$) مقیاس طولی تخلیه، $L_M = \frac{M_0^{3/4}}{B_0^{1/2}}$ مقیاس طولی جت به پلوم، (b_0) عرض کanal تخلیه کننده، (h_0) عمق کanal تخلیه کننده و X فاصله از محل تخلیه است. در این معادله تمام پارامترها با بعد طول می‌باشند. مقیاس طولی تخلیه (L_Q) ناحیه‌ای را که در آن هندسه کanal تخلیه، خصوصیات جریان را تحت تأثیر قرار می‌دهد، نشان می‌دهد و در واقع نشان‌دهنده اهمیت نسبی شار جمی اولیه به شار مومنتم اولیه است (Xiao et al. 2009). مقیاس طولی جت به پلوم (L_M) بیانگر فاصله‌ای است که در آن انتقال از ناحیه غلبه اندازه حرکت (رفتار جت مانند جریان) به ناحیه غلبه شناوری (رفتار پلوم شکل جریان) در محیط‌های ساکن و همگن اتفاق می‌افتد. نسبت این دو مقیاس طولی به عنوان عدد فرود دنسیمتیریک ($Fr_d = \frac{u_0}{\sqrt{g \cdot A_0^{1/2}}}$) بیان می‌شود. برای $1 \gg \frac{L_M}{L_Q}$ ، تأثیر دینامیکی شار جمی منبع نادیده گرفته می‌شود و L_Q از دسته پارامترهای تأثیرگذار حذف می‌گردد (Beleninger & Jirka 2008). بنابراین، با استفاده از آنالیز ابعادی، شکل بدون بعد پارامتر جریان، Φ^* ، را می‌توان به صورت تابعی از نسبت‌های بدون بعد زیر توصیف کرد (Jones et al. 1996)

$$\Phi^* = f\left(\frac{L_Q}{L_M}, \frac{X}{L_M}, \frac{H}{L_M}, AR\right) \quad (4)$$

که در آن AR ، نسبت شکل کanal تخلیه است که به صورت $\frac{h_0}{b_0}$ تعریف شده است. پژوهشگران زیادی در پژوهش‌های خود به منظور تعیین مشخصات هندسی و اختلاطی جریان و توسعه گراف‌های بی‌بعد، به ترتیب پارامتر بدون بعد (χ/L_M) و (δ/Fr_d) را به عنوان پارامتر هندسی و ترقیق نرمال (بدون بعد) جت مورد استفاده قرار دادند (Roberts et al. 1997; Bleninger & Jirka 2008)

$$\frac{X}{L_M} = f_5\left(\frac{H}{L_M}, \frac{h_0}{b_0}, \frac{L_M}{L_Q}\right) \quad (5)$$

$$\frac{S_m}{Fr_d} = f\left(\frac{H}{L_M}\right) \quad (6)$$



نرم افزار لب فیت^۱ استفاده شد (Silva et al. 1999). با جایگذاری ضرایب به دست آمده شکل نهایی این روابط برای پیش‌بینی موقعیت نقطه غوطه‌وری به ترتیب برای مقطع مستطیل و ذوزنقه با عدد فروود در محدوده $5 < Fr_d < 1.7$ به صورت زیر ارائه شد

$$\frac{X_p}{L_M} = 0.96 \left(\frac{H}{L_M} \right)^{0.71} * \left(\frac{h_0}{b_0} \right)^{0.196} * \left(\frac{L_M}{L_Q} \right)^{-0.2} \quad (8)$$

$R^2 = 0.93 \quad RMSE = 0.35$

$$\frac{X_p}{L_M} = 0.044 \left(\frac{H}{L_M} \right)^{2.57} * \left(\frac{h_0}{b_0} \right)^{0.995} * \left(\frac{L_M}{L_Q} \right)^{2.1} \quad (9)$$

$R^2 = 0.85 \quad RMSE = 0.25$

به منظور صحت‌سنجی آماری روابط بی بعد ارائه شده، از شاخص‌های مقادیر ریشه میانگین مربعات خطأ^۲ (RMSE) و ضریب تعیین (R^2) استفاده شده است. برای محاسبه شاخص ریشه میانگین مربعات خطأ از معادله ۱۰ استفاده شد

$$RMSE = \sqrt{\frac{\sum_{j=1}^n (X_j - X(cal)_j)^2}{n}} \quad (10)$$

در این معادله $RMSE$ ، ریشه میانگین مربعات خطأ، X_j مقدار اندازه‌گیری شده پارامتر مورد نظر، j مقدار برآورد شده آن از فرمول‌های ارائه شده و n تعداد دفعات آزمایش است. شاخص مقادیر ریشه میانگین مربعات خطأ یکی از شاخص‌های اصلی صحت‌سنجی معادلات است. اگر مقدار این شاخص کوچک‌تر از ۱/۰ باشد برازنده‌گی مدل بسیار خوب است. اگر بین ۱/۰ و ۰/۵ باشد برازنده‌گی مدل خوب است و اگر بین ۰/۵ و ۰/۰ باشد برازنده‌گی مدل متوسط است (MacCallum et al. 1996). مقدار جذر میانگین مربعات خطأ ($RMSE$) و ضریب تعیین (R^2) به ترتیب برای مستطیل $/35$ ، $0/93$ و برای ذوزنقه $25/0$ و $85/0$ به دست آمد. همانطور که ملاحظه می‌شود هر دو معادله دقت قابل قبولی دارند و از این معادلات می‌توان برای پیش‌بینی موقعیت نقطه غوطه‌وری در هر یک از این مقاطع مذکور استفاده کرد.

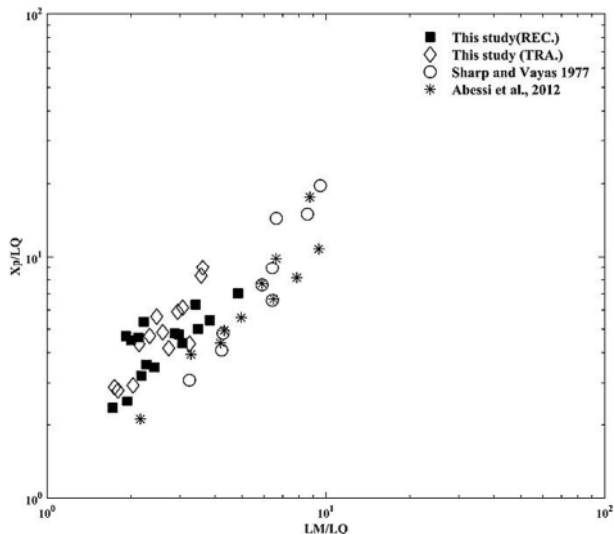
¹ LAB Fit² Root Mean Square Error (RSME)

Fig 5. The plunge point location of dense surface discharge

شکل ۵- موقعیت نقطه غوطه‌وری در تخلیه سطحی فاضلاب‌های سنگین

عابسی و همکاران در سال ۲۰۱۲ که معادل $1/076$ بوده است، اندکی متفاوت است (Abessi et al. 2012). این تفاوت می‌تواند به دلیل تأثیر شکل هندسی کanal در عدد فرودهای کوچک باشد که علی‌رغم بی‌بعد بودن گراف‌ها، با افزایش عرض کanal مستطیلی از $4/6$ سانتی‌متر به 10 سانتی‌متر نیز اثر خود را نشان داده است. در ادامه با استفاده از آنالیز ابعادی ارائه شده که در آن تمام پارامترهای مؤثر لحاظ شده، می‌توان معادله ۵ را برای پیش‌بینی موقعیت نقطه غوطه‌وری به صورت زیر ارائه نمود

$$\frac{X_p}{L_M} = a_1 \left(\frac{H}{L_M} \right)^\alpha * \left(\frac{h_0}{b_0} \right)^\beta * \left(\frac{L_M}{L_Q} \right)^\gamma \quad (7)$$

در این معادله هدف، تعیین ضرایب a_1 ، α ، β ، γ و در نهایت استخراج روابط بی‌بعدی برای پیش‌بینی موقعیت نقطه غوطه‌وری برای هر یک از مقاطع مورد مطالعه است. به این منظور داده‌های به دست آمده به دو دسته تقسیم شدند. دسته اول، 80 درصد داده‌ها هستند که تحت عنوان داده‌های آموزش و دسته دوم، 20 درصد داده‌ها به عنوان داده‌های تست نامگذاری شدند. انتخاب داده‌های تست به صورت تصادفی بوده است. از دسته اول برای به دست آوردن ضرایب a_1 ، α ، β ، γ و از دسته دوم داده‌ها برای اعتبارسنجی این روابط استفاده شد. برای تعیین ضرایب موجود با استفاده از داده‌های آموزش، از آنالیز رگرسیونی غیرخطی در



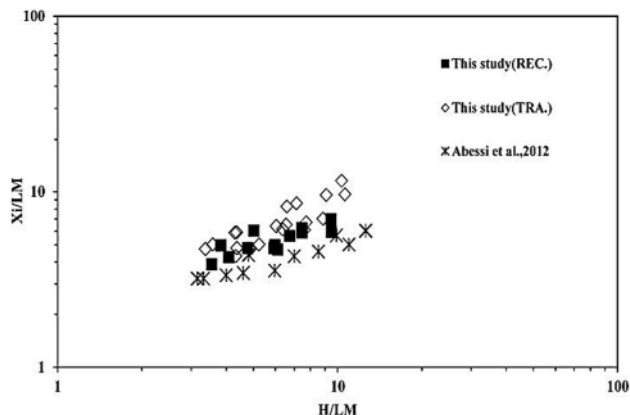


Fig. 6. The location of the impact point of dense surface discharge

شکل ۶- موقعیت نقطه برخورد در تخلیه سطحی فاضلاب‌های سنگین

همانطور که قبلاً اشاره شد، ضرایب b_1, β, α و در نهایت استخراج معادلات بی بعد به ترتیب برای هریک از مقاطع مستطیل و ذوزنقه در محدوده $5 < Fr_d < 1.7$ به صورت زیر بدست آمد

$$\frac{X_i}{L_M} = 0.922 \left(\frac{H}{L_M} \right)^{0.86} * \left(\frac{h_0}{b_0} \right)^{0.18} * \left(\frac{L_M}{L_Q} \right)^{0.59} \quad (12)$$

$$R^2 = 0.82 \quad RMSE = 0.48$$

$$\frac{X_i}{L_M} = 2.85 \left(\frac{H}{L_M} \right)^{0.44} * \left(\frac{h_0}{b_0} \right)^{-0.09} * \left(\frac{L_M}{L_Q} \right)^{-0.34} \quad (13)$$

$$R^2 = 0.98 \quad RMSE = 0.18$$

نتایج نشان می‌دهد که هر دو معادله دقت قابل قبولی دارند و از این معادلهای می‌توان برای پیش‌بینی موقعیت نقطه برخورد در هر یک از مقاطع مذکور استفاده کرد.

در این پژوهش به منظور تعیین میزان ترقیق در نقطه برخورد (S_i)، از نسبت شدت یکپارچه نور سیاه در نقطه برخورد (I_i) به شدت نور پیشینه (I_{max})، که همان شدت نور در مبدأ است) استفاده شد. در شکل ۷ نسبت ترقیق پس از در نقطه برخورد به عدد فرود چگال ($\frac{S_i}{Fr_d}$) در برابر پارامتر بی بعد عمق ($\frac{H}{L_M}$) همراه با نتایج ترسیم شده است (Abessi et al. 2012). شکل ۷ نشان می‌دهد که ترقیق جریان در نقطه برخورد به طور مستقیم تابع $\frac{H}{L_M}$ است، به این ترتیب تغییر عمق محیط پذیرنده (H) و پارامترهای اولیه تخلیه (L_M, Fr_d) منجر به تغییر ترقیق جریان در نقطه برخورد (S_i) می‌شود. همانطور که در این شکل ملاحظه می‌شود، تخلیه سطحی

۲-۳- نقطه برخورد

پژوهش‌های محیط‌زیستی با توجه به حساسیت زیستگاه اعماق دریا، اغلب به ارزیابی موقعیت نقطه برخورد و میزان ترقیق در این نقطه می‌پردازند و دستیابی به حداکثر ترقیق در بستر از جمله اهداف مهم در طراحی تخلیه‌کننده‌های دریابی است. در این پژوهش برای تعیین موقعیت نقطه برخورد، تغییرات شدت نور سیاه در ردیف‌های افقی مجاور بستر در تصویر میانگین آزمایش، مورد بررسی و تحلیل قرار گرفته است. در شکل ۶، موقعیت بدون بعد نقطه برخورد ($\frac{X_i}{L_M}$) در برابر پارامتر بدون بعد ($\frac{H}{L_M}$) برای دو مقطع مستطیل و ذوزنقه همراه با مطالعات پیشین ترسیم شده است. نتایج نشان می‌دهد که موقعیت افقی نقطه برخورد، به عمق محیط پذیرنده بستگی دارد. همانطور که در شکل ۶ نشان داده شده، با افزایش عمق محیط پذیرنده، فاصله نقطه تماس جریان با کف بیشتر خواهد شد. از مقایسه دو مقطع مذکور ملاحظه می‌شود که در مقطع ذوزنقه‌ای نسبت به مقطع مستطیلی، موقعیت نقطه برخورد با بستر در تخلیه سطحی جریان‌های چگال، با افزایش عمق سریع تر افزایش یافته و امتداد طول نقطه برخورد به طور نسبی بزرگ‌تر است. در کanal مستطیلی نقطه غوطه‌وری زودتر حادث شده و شیب مسیر حرکت نسبت به کanal ذوزنقه‌ای بیشتر است؛ به عبارت دیگر جریان خروجی از کanal مستطیلی با سرعت بیشتری نسبت به کanal ذوزنقه‌ای سقوط می‌کند. این امر سبب می‌شود که مقطع ذوزنقه نسبت به مقطع مستطیل دارای مسیر حرکت طولانی‌تری باشد و برخورد در فاصله بیشتری از محل تخلیه رخ دهد. از این رو کanal با مقطع ذوزنقه‌ای از مشخصات ترقیق مناسب‌تری نسبت به مقطع مستطیلی برخوردار خواهد بود. برای اعداد فرود کوچک در تخلیه جریان به دلیل اهمیت شکل تخلیه‌کننده، مقطع هندسی کanal یک پارامتر تأثیرگذار بوده و الگوی حرکت جریان را تحت تأثیر قرار می‌دهد. در شکل ۶ نتایج این پژوهش و پژوهش‌های پیشین ترسیم شده که روند مشابهی در الگوی تغییرات نقطه برخورد را نشان می‌دهد.

به منظور پیش‌بینی موقعیت نقطه برخورد، معادله ۵ را می‌توان به صورت زیر نوشت

$$\frac{X_i}{L_M} = b_1 \left(\frac{H}{L_M} \right)^\alpha * \left(\frac{h_0}{b_0} \right)^\beta * \left(\frac{L_M}{L_Q} \right)^\gamma \quad (11)$$



۳-۳- اختلاط نهایی جریان در محیط^۱

پس از برخورد جریان با بستر، فاضلاب خروجی با مصرف باقیمانده شارهای اولیه به ترقیق نهایی خود در محیط دست می‌یابد. ترقیق نهایی (S_m) در واقع حداقل ترقیقی است که بر اثر شارهای اولیه جریان خروجی حاصل می‌شود و پس از آن تنها کاهش ناچیزی در غلظت جریان فاضلاب خروجی مشاهده می‌شود. رابرتسن و همکاران در سال ۱۹۹۷، محدوده‌ای در مجاورت بستر، که در آن ترقیق جریان تقریباً به صورت مجانب در آمد و غلظت جریان (شدت نور سیاه) در امتداد مسیر در جهت X، به طور محسوس تغییر نکرده را به عنوان موقعیت ترقیق نهایی (X_m) معرفی نموده‌اند. این نقطه در واقع ابتدای محدوده‌ای است که غلظت جریان بعد از آن، به طور محسوس تغییر نکرده و کاهش نمی‌یابد. در این پژوهش نیز از همین روش برای تعیین موقعیت ترقیق نهایی (X_m) استفاده شده است. در شکل ۸، موقعیت ترقیق نهایی (X_m) در برابر عمق است. در شکل ۸، موضعیت ترقیق نهایی (X_m) در برخورد عمق محیط پذیرنده برای هر دو مقطع یاد شده ترسیم و هر دو نسبت به نرمال‌سازی شده‌اند. همانطور که در شکل ۸ ملاحظه می‌شود از نظر موقعیت نقطه ترقیق نهایی جریان در محیط، تفاوت قابل ملاحظه‌ای بین دو مقطع مذکور مشاهده نمی‌شود.

در شکل ۸ مشاهده می‌شود که نتایج پژوهش حاضر با پژوهش پیشین از انطباق خوبی برخوردار است. اما تفاوت معنی‌داری بین مقادیر به دست آمده برای مقطع مستطیلی و ذوزنقه‌ای مشاهده نشد.

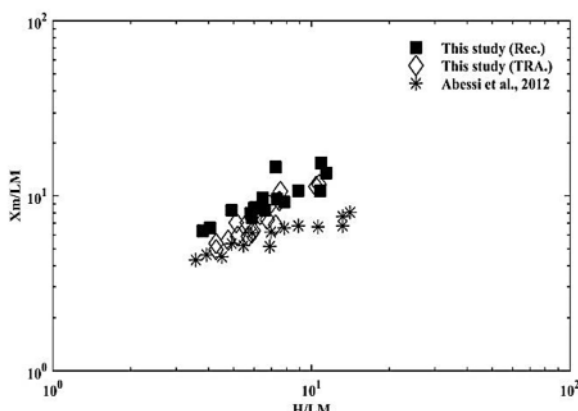


Fig. 8. The location of the ultimate dilution of dense surface discharge

شکل ۸- موقعیت رسیدن جبهه آسودگی به حداقل میزان ترقیق خود در تخلیه سطحی فاضلاب‌های سنگین

^۱ Flow Ultimate Dilution

پساب‌های سنگین در آب‌های عمیق‌تر امکان بهتری برای ترقیق جریان در نقطه برخورد را فراهم خواهد ساخت و این ضرورت فاصله گرفتن از ساحل برای دستیابی با عمق‌های بیشتر در تخلیه سطحی فاضلاب‌های شور را نشان می‌دهد. در شکل ۷ با مقایسه دو مقطع مستطیلی و ذوزنقه‌ای مشاهده می‌شود به ازای مقدار یکسان (H/LM)، مقطع ذوزنقه‌ای نسبت به مقطع مستطیلی ترقیق بهتری خواهد داشت. علت این امر را می‌توان این طور تفسیر کرد که در فرودهای کوچک، تأثیر شکل در فاصله زیادی از نقطه تخلیه همچنان برقرار خواهد بود. به دلیل شکل مقطع ذوزنقه‌ای، جریان در مجاورت سطح پخش می‌شود و مسیر طولانی تری را در مجاورت سطح قبل از غلبه نیروی شناوری طی می‌کند؛ در حالی که در مقطع مستطیلی به علت درگیری بیشتر جریان با آب محیط، نیروی مومنت که عامل رانش افقی جریان است، سریع‌تر مستهلک شده و نیروی شناوری در فاصله کوتاه‌تری غلبه می‌یابد. به این ترتیب مقطع ذوزنقه از فرست بیشتری برای اختلاط با محیط پذیرنده پیش از رسیدن به کف برخوردی بوده و بیشتر رقیق می‌شود. این موضوع بیانگر آن است که هرچه شکل کanal تخلیه‌کننده به شکل بهترین مقطع هیدرولیکی (نیم دایره) نزدیک‌تر باشد، درگیری هیدرولیکی جریان خروجی با محیط کمتر، مسیر حرکت طولانی تر و سقوط جریان آهسته‌تر خواهد بود، در نتیجه فاضلاب فرست بیشتری برای پخشیدگی و ترقیق در محیط پذیرنده در اختیار خواهد داشت. مقایسه نتایج حاضر با پژوهش (Abessi et al. 2012) روند مشابهی داشت.

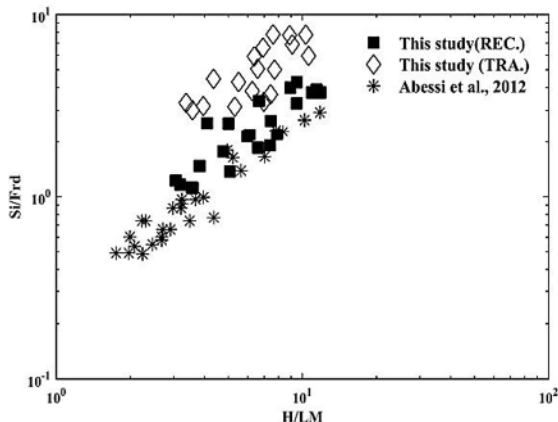


Fig. 7. The dilution in the impact point

شکل ۷- ترقیق جریان در نقطه برخورد جریان چکال با بستر

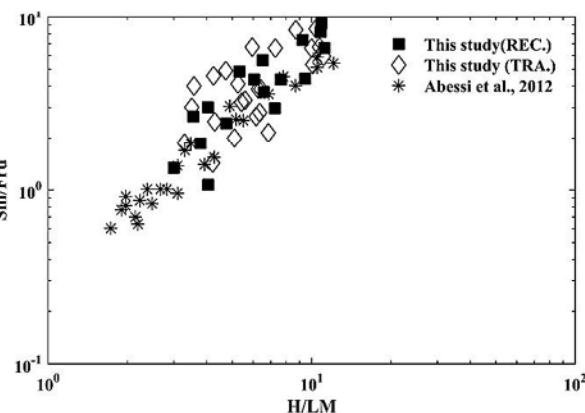


Fig. 9. The ultimate flow dilution of dense surface discharge into stagnant non-stratified ambient

شکل ۹- ترقيق نهايى در تخليل سطحى فاضلابهايى با شناورى منفى
در محيط ساكن و لايهبندي نشد

۴- نتیجه گیری

نتایج حاصل از مدل سازی آزمایشگاهی به منظور مقایسه مشخصات هندسی و اختلاطی جریان در تخلیه سطحی پساب های سنگین از دو مقطع مستطیلی و ذوزنقه ای، در محدوده عدد فرود دنسی متريک ۱/۷-۵ ارائه شد.

در اين پژوهش مشاهده شد شکل هندسی کanal تخلیه بر مشخصات هندسی و اختلاطی جریان تأثیرگذار و تعیین کننده موقعیت نقطه غوطه وری، نقطه برخورد و میزان ترقيق در نقطه برخورد است. همچنین در بررسی مقایسه ای این دو کanal مشاهده شد که به طور کلی مقادیر اين پارامترها برای مقطع ذوزنقه ای بیشتر از مقطع مستطیلی است. پارامترهای دیگر مورد بررسی ترقيق نهايى و موقعیت دستیابی به آن بوده که با توجه به فاصله بیشتر این نقاط از مجرای تخلیه برای دو مقطع مستطیلی و ذوزنقه ای مقادیر آنها تقریباً يکسان محاسبه شده است. برای اعداد فرود کوچک مورد بررسی در فاصله زیاد از مجرای تخلیه، تأثیر شکل هندسی مقطع بر مشخصات جریان خروجی از بین رفته و مشخصات جریان در این نقطه مستقل از شکل کanal می باشند، لذا برای شارهای يکسان خروجی موقعیت ترقيق نهايى (X_m) و میزان ترقيق در اين نقطه برای دو مقطع يکسان خواهد بود.

به اين ترتيب در شرایطی که در طراحی، طول مسیر حرکت جریان یا ترقيق در نقطه برخورد مدنظر باشد، مقطع ذوزنقه مناسب است و در صورتی که موقعیت و ترقيق نهايى مدنظر باشد، اين دو

نzedیکی در موقعیت دستیابی به حداکثر ترقيق جریان در محیط برای مقاطع مستطیلی و ذوزنقه ای را می توان به فاصله بیشتر این نقطه از دهانه تخلیه مرتبه دانست زیرا مقیاس طولی تخلیه (L_Q)، بیانگر محدوده ای است که در آن هندسه کanal تخلیه، خصوصیات جریان را تحت تأثیر قرار می دهد. این محدوده تنها طولی کوچک از امتداد جریان را در برگرفته و تأثیر آن در فاصله طولانی از مجرای تخلیه مستهلك می شود. از اینرو در نقطه دستیابی به ترقيق نهايى که در فاصله بیشتری از مجرای تخلیه قرار دارد، عملاً تأثیر شکل هندسی مجرای تخلیه از بین رفته و مشخصات جریان مستقل از آن می باشد، لذا موقعیت ترقيق نهايى برای دو مقطع مستطیلی و ذوزنقه ای تقریباً يکسان است.

میزان ترقيق نهايى (S_m)، در واقع حداکثر کاهش غلظت جریان در محیط بر اثر شارهای اولیه جریان خروجی است. بعد از دستیابی جریان به ترقيق نهايى، کاهش غلظت آلاند در محیط بسیار جزئی و تنها ناشی از فرایند انتقال و انتشار مولکولی است. در این پژوهش برای تعیین ترقيق نهايى روند کاهش، شدت نور یکپارچه شده در صفحه مورد تحلیل و بررسی قرار گرفته است. مقدار این پارامتر مستقیماً با استخراج شدت نور، از طریق برش های افقی از تصاویر میانگین در مجاورت بستر به دست آمده است. شکل ۹ نسبت ترقيق نهايى به عدد فرود $\left(\frac{S_m}{Fr_d}\right)$ در برابر نسبت عمق محیط پذیرنده به مقیاس طولی جت به پلوم $\left(\frac{H}{L_M}\right)$ را برای مقاطع فوق الذکر در مقایسه با پژوهش های پیشین نشان می دهد. نتایج بیانگر آن است که ترقيق و افزایش اختلاط جریان با عمق، امکان مطلوبی برای تخلیه فاضلاب در مناطق ساحلی عمیق فراهم خواهد ساخت. همانطور که در شکل ۹ مشاهده می شود مشابه حالت قبل، میزان ترقيق نهايى فاضلاب در محیط در تخلیه سطحی جریان های با شناوری منفى، برای دو مقطع مستطیلی و ذوزنقه ای تقریباً مشابه بوده و تفاوت قابل ملاحظه ای در آن مشاهده نمی شود. با استفاده از آنالیز ابعادی انجام شده، معادله بی بعد به دست آمده از نرم افزار LABFIT به منظور پیش بینی ترقيق نهايى برای مقطع مستطیلی و ذوزنقه ای برای اعداد فرود کوچک در محدوده $5 < Fr_d < 1.7$ برابر است با

$$\frac{S_m}{Fr_d} = 0.712 \left(\frac{H}{L_M} \right) - 0.0623 \quad (14)$$

$$R^2 = 0.85 \quad RMSE = 0.3$$



قابلی برخوردار است و می‌توان از آنها برای پیش‌بینی پارامترهای جریان استفاده کرد. مهندس طراح با آگاهی از استانداردها و کنترل پارامترهای تأثیرگذار در نهایت قادر به طراحی تخلیه‌کننده‌های مشابه برای تخلیه سطحی پساب‌های سنگین با استفاده از کانال‌های سطحی پیش‌روندۀ در شرایط بهینه خواهد بود.

۵- قدردانی

به این وسیله از حمایت‌های معاونت پژوهشی دانشگاه‌های علم و صنعت ایران و تربیت مدرس، بابت فراهم‌سازی امکانات پژوهشی و زیرساخت‌های آزمایشگاهی مورد استفاده در این پژوهش تشکر و قدردانی می‌شود.

مقطع دارای تأثیرات یکسان تشخیص داده شده‌اند. از مقایسه دو مقطع مستطیلی و ذوزنقه‌ای نیز نتیجه می‌شود که هرچه شکل کanal تخلیه‌کننده به شکل بهترین مقطع هیدرولیکی (نیم دایره) نزدیک‌تر باشد، مسیر حرکت طولانی‌تر و سقوط جریان چگال طی آن آهسته‌تر و ترقیق فاضلاب خروجی بیشتر است. به عبارت دیگر، مقاطع نزدیک به بهترین مقطع هیدرولیکی از مشخصات هندسی و اختلاطی بهتری برخوردار خواهند بود. نتایج حاصل از این پژوهش به صورت یک سری گراف‌ها و روابط بی‌بعد ارائه شد، برای صحبت‌سنگی آماری روابط ارائه شده از مقادیر ریشه میانگین مربعات خطأ (RMSE) و ضریب تبیین (R^2) استفاده شد. میزان خطای محاسبه شده بیانگر آن است که روابط ارائه شده از دقت قابل

References

- Abessi, O. & Roberts, W.P., 2015, "Effect of nozzle orientation on dense jets in stagnant environments", *Journal of Hydraulic Engineering*, 10.1061/(ASCE), HY.1943-7900.0001032, 06015009.
- Abessi, O. & Roberts, W.P., 2015, "Dense jet discharges in shallow water", *Journal Hydraulic Engineering*, ISSN 0733-9429/04015033(13).
- Abessi, O., 2011, "Analysis of surface discharge of negatively buoyant effluents into non-stratified water bodies", PhD Thesis, Iran University of Science and Technology, School of Civil Engineering, Tehran, Iran. (In Persian)
- Abessi, O., Roberts, W.P., 2014, "Multiport diffusers for dense discharges", *Journal Hydraulic Engineering*, 140 (8), 04014032-1-04014032-12.
- Abessi, O., Saeedi, M., Davidson, M. & Hajizadeh Zaker, N., 2012, "Flow classification of negatively buoyant surface discharges in an ambient current", *Journal Coastal Research*, DOI 10.2112/JCOASTRES-D-10-00131.1, 28 (1-a), 148-155.
- Abessi, O., Saeedi, M., Bleninger, T. & Davidson, M., 2012, "Surface discharge of negatively effluent in unstratified stagnant water", *Journal of Hydro-Environment Research*, 6, 181-193.
- Amon, R.M.W. & Benner, R., 1998, "Seasonal patterns of bacterial abundance and production in the Mississippi River plume and their importance for the fate of enhanced primary production", *FEMS Microbiology Ecology*, 35 (3), 289-300.
- Bleninger, T. & Jirka, G., 2008, "Modelling and environmentally sound management of brine discharges from desalination plants", *Journal of Desalination*, 221, 585-597.
- Chu, V.H. & Jirka, G.H., 1986, "Surface buoyant jets" In: *Encyclopedia of fluid mechanics*, Chap. 25, Gulf, Houston.
- Cipollina, A., Brucato, A., Grisafi, F. & Nicosia, S., 2005, "Bench-scale investigation of inclined dense jets", *Journal of Hydraulic Engineering*, 131(11), 1017-1022.
- Crowe, A.T., Davidson, M.J., & Nokes, R.I., 2012, "Maximum height and return point velocities of desalination brine discharges", *18th Australasian Fluid Mechanics Conference Launceston*, Australia.
- Fischer, H. B., List, E. J., Koh, C. Y., Imberger, J. & Brooks, N. H., 1979, *Mixing in inland and coastal waters*, Academic Press, Inc., Orlando, Florida.
- Gholamreza-Kashi, S., Martinuzzi, R.J. & Baddour, R.E., 2007, "Mean flow field of a nonbuoyant rectangular surface jet", *Journal of Hydraulic Engineering*, 133 (2), 234-239.
- Jirka, G.H., 2007a, "Buoyant surface discharges into water bodies. II: jet integral model", *Journal of Hydraulic Engineering*, 133 (9), 1021-1036.



- Jirka, G.H., Adams, E.E. & Stolzenbach, K.D., 1981, "Buoyant surface jets", *Journal of Hydraulics Division.*, 107, (11), 1467-1487.
- Jones, G., Nash, D., Doneker, L. & Jirka, G.H., 2007, "Buoyant surface discharge into water bodies I: Flow classification and prediction methodology", *Journal of Hydraulic Engineering*, ASCE, Vol. 133, No. 9, 1010-1020.
- Jones, G.R., Nash, J.D. & Jirka, G.H., 1996, "CORMIX3: An expert system for mixing zone analysis and prediction of buoyant surface discharge", *DeFrees Hydraulics Laboratory*, Cornell University.
- Kikkert, G., A., 2006, "Buoyant jets with tow and three-dimensional trajectories", PhD Thesis, University of Canterbury, Christchurch, New Zealand.
- Kassem, J.A.M. & Khan, J.A., 2003, "Three-dimensional modeling of negatively buoyant flow in diverting channels", *Journal Hydraulic Engineering*, 129 (12), 936-947.
- Kikkert , G., Davidson, J. & Nokes, I., 2007, "Inclined negatively buoyant discharges", *Journal of Hydraulic Engineering*, 133, 545-554.
- Law Adrian, W.K., Fun Ho, W. & Monismith, S.G., 2004, "Double diffusive effect on desalination discharges", *Journal of Hydraulic Engineering*, 130 (5), 450-457.
- Lia, C.C.K. & Lee, J.H.W., 2012, "Mixing of inclined dense jets in stationary ambient", *Journal of Hydro-Environment Research*, 6, 9-28.
- MacCallum, R. C., Browne, M. W. & Sugawara, H. M., 1996, "Power analysis and determination of sample size for covariance structure modelling", *Psychological Methods*, 1, 130-149.
- Marti, C. L., Antenucci, J. P., Luketina, D., Okely, P. & Imberger, J., 2011, "Near-field dilution characteristics of a negatively buoyant hypersaline jet generated by a desalination plant", *Journal Hydraulic of Engineering*, 137(1), 57-65.
- Miller, R.S., Madnia, C.K. & Givi, P., 1995, "Numerical simulation of non-circular jets", *Journal Computers and Fluids*, 24, (1), 1-25.
- Nash, J.D. & Jirka, G.H., 1996, "Buoyant surface discharges into unsteady ambient flows", *Journal of Dynamics Atmospheres and Oceans*, 24 (1-4), 75-84.
- Nokes, R., 2008, Image Stream Version 7.00, User's Guide, Department of Civil and Natural Resources Engineering University of Canterbury, Christchurch, New Zealand.
- Oliver, C.J., Davidson, M.J. & Nokes, R.I., 2013, "Removing the boundary influence on negatively Pincince, A.B., List, E.J., 1973. Disposal of brine into an estuary", *Journal of Water Pollut. Control Fed.*, 45, 2335-2344.
- Roberts, P.J.W., Ferrier, A. & Daviero, G., 1997, "Mixing in inclined dense jets", *Journal of Hydraulic Engineering*, 123 (8), 693-699.
- Saeedi, M., Farahani, A. Abessi, O. & Bleninger, T., 2012, "Laboratory studies defining flow regimes for negatively buoyant surface discharges into crossflow", *Journal of Environmental Fluid Mechanics*, 12, 439-449, DOI 10.1007/s10652-012-9245-4.
- Shao, D., Law, A.W.K., 2010, "Mixing and boundary interactions of 30 and 45 inclined dense jets", *Journal of Environmental Fluid Mechanics*, 10 (5), 521-553.
- Silva, W.P. & Silva, C.M.D.P.S., 1999-2011, "LAB Fit curve fitting software (nonlinear regression and treatment of data program)", V 7.2.48, Online, available at the World Wide Web at: www.labfit.net
- Tarrade, L., Miller, B. & Smith, G., 2010, "Physical modelling of brine dispersion of desalination plant outfalls", *6th International Conference on Marine Wastewater Discharges*, MWWD 2010, Langkawi, Malaysia, 25 - 29.
- USEPA, 1980a, *Ambient water quality criteria*, EPA 440/5-80-015 to 079, U.S. Environmental Protection Agency, Washington, D.C.
- Xiao, J., Travis, J.R. & Breitung, W., 2009, "Non-boussinesq integral model for horizontal turbulent buoyant round jets", *Science and Technology of Nuclear Installations*, doi:10.1155/2009/862934.

